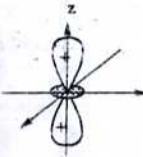
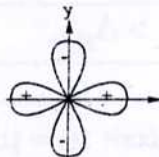
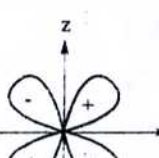
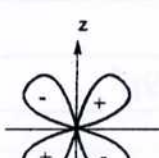
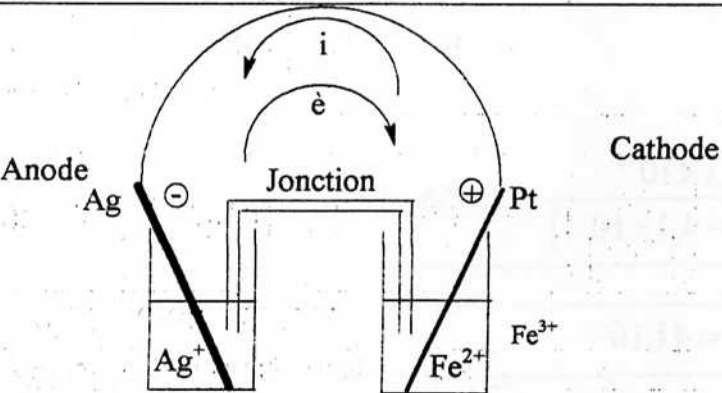


**Proposition de corrigée de l'épreuve de chimie****Filière : BG****Partie A : Chimie Inorganique****Problème I: (7,5 pts/20)**

	détails	total
I-1-a)	$\begin{bmatrix} e \\  C=N  \end{bmatrix}$	0,25 pt    0,25 pt
I-1-b)	L'azote est plus électronégatif que le carbone.	0,25 pt    0,25 pt
I-1-c)	Liaison dative: liaison de coordination : donneur ( $CN^-$ ) $\leftrightarrow$ accepteur (M)	0,25 pt    0,25 pt
I-2)	Elément de transition : un élément qui a la configuration électronique : $[gaz rare]ns^x(n-1)d^y \quad 0 \leq x \leq 2; 0 \leq y < 10$	0,25 pt
Caractéristiques:	<ul style="list-style-type: none"> <li>Degrés d'oxydation multiple.</li> <li>Caractère métallique.</li> <li>Ils peuvent faire plusieurs liaisons de coordination (complexes colorés).</li> </ul>	0,75 pt
I-3)	$Fe^{2+} : [Ar]4s^0 3d^6$	0,25 pt
	$Fe^{3+} : [Ar]4s^0 3d^5$	0,25 pt    0,5 pt
I-4)	 $d_{z^2}$	0,25 pt
	 $d_{x^2-y^2}$	
	 $d_{xy}$	0,25 pt
	 $d_{yz}$	
Les cinq orbitales « d » sont dégénérées (même énergie) dans $Fe^{3+}$ libre		1 pt
I-5-a)	$A = [Fe(CN)_6]^{4-}$	0,25 pt
	Ion hexacyano ferrate II	0,25 pt
	$B = [Fe(H_2O)_6]^{2+}$	0,25 pt
	Ion hexa-aqua fer II	0,25 pt

I-5-b)	détails	total								
 Environnement sphérique      Environnement octaédrique	0,25 pt	0,25 pt								
<b>I-5-c)</b> A: diamagnétique $\rightarrow$ il n'y a pas d'électron célibataires $\rightarrow$ $\text{Fe}^{2+}$ dans A adopte la configuration bas spin : $t_{2g}^6 e_g^0 \rightarrow$ le ligand $\text{CN}^-$ crée un champs fort autour de $\text{Fe}^{2+} \rightarrow$ la configuration de $\text{Fe}^{2+}$ : <table style="margin-left: auto; margin-right: auto;"> <tr> <td><input type="checkbox"/></td> <td><input checked="" type="checkbox"/> <input checked="" type="checkbox"/> <input checked="" type="checkbox"/> <input checked="" type="checkbox"/> <input checked="" type="checkbox"/></td> <td><input type="checkbox"/> <input type="checkbox"/> <input type="checkbox"/></td> <td><input type="checkbox"/> <input type="checkbox"/> <input type="checkbox"/></td> </tr> <tr> <td>4s</td> <td>3d</td> <td>4p</td> <td>4d</td> </tr> </table> L'hybridation : $\text{sd}^2\text{p}^3 \rightarrow$ géométrie octaédrique	<input type="checkbox"/>	<input checked="" type="checkbox"/>	<input type="checkbox"/> <input type="checkbox"/> <input type="checkbox"/>	<input type="checkbox"/> <input type="checkbox"/> <input type="checkbox"/>	4s	3d	4p	4d	0,5 pt	0,5 pt
<input type="checkbox"/>	<input checked="" type="checkbox"/>	<input type="checkbox"/> <input type="checkbox"/> <input type="checkbox"/>	<input type="checkbox"/> <input type="checkbox"/> <input type="checkbox"/>							
4s	3d	4p	4d							
B: paramagnétique $\rightarrow$ il existe des électrons célibataires $\rightarrow$ $\text{Fe}^{2+}$ dans B adopte la configuration haut spin : $t_{2g}^4 e_g^2 \rightarrow$ le ligand $\text{H}_2\text{O}$ crée un champs faible autour de $\text{Fe}^{2+} \rightarrow$ la configuration de $\text{Fe}^{2+}$ : <table style="margin-left: auto; margin-right: auto;"> <tr> <td><input type="checkbox"/></td> <td><input checked="" type="checkbox"/> <input checked="" type="checkbox"/> <input checked="" type="checkbox"/> <input checked="" type="checkbox"/> <input checked="" type="checkbox"/></td> <td><input type="checkbox"/> <input type="checkbox"/> <input type="checkbox"/></td> <td><input type="checkbox"/> <input type="checkbox"/> <input type="checkbox"/></td> </tr> <tr> <td>4s</td> <td>3d</td> <td>4p</td> <td>4d</td> </tr> </table> L'hybridation : $\text{sp}^3\text{d}^2 \rightarrow$ géométrie octaédrique	<input type="checkbox"/>	<input checked="" type="checkbox"/>	<input type="checkbox"/> <input type="checkbox"/> <input type="checkbox"/>	<input type="checkbox"/> <input type="checkbox"/> <input type="checkbox"/>	4s	3d	4p	4d	0,5 pt	2 pts
<input type="checkbox"/>	<input checked="" type="checkbox"/>	<input type="checkbox"/> <input type="checkbox"/> <input type="checkbox"/>	<input type="checkbox"/> <input type="checkbox"/> <input type="checkbox"/>							
4s	3d	4p	4d							
<b>I-5-d)</b> $\Delta_{\text{CN}^-} > \Delta_{\text{H}_2\text{O}}$	0,25 pt									
<b>I-5-e)</b> Par définition le moment magnétique s'écrit : $\mu = \mu_B \times \sqrt{n \times (n + 2)}$ Où n désigne le nombre d'électron célibataire et $\mu_B$ magnéton de Bohr. Pour A : n=0 $\rightarrow \mu = 0 \mu_B$ Pour B : n=4 $\rightarrow \mu = \sqrt{24} \mu_B = 4,9 \mu_B$	0,25 pt	0,5 pt								
<b>I-5-f)</b> $E_{\text{s}_A} = (6 \times E_0 + P) - \left( 6 \times E_0 - \frac{12}{5} \times \Delta_o + 3 \times P \right) = \frac{12}{5} \times \Delta_o - 2 \times P$ <b>Application numérique:</b> $E_{\text{s}_A} = \frac{12}{5} \times 31000 - 2 \times 30000 = 14400 \text{ cm}^{-1} \cdot \text{mol}^{-1} = 172,15 \text{ kJ} \cdot \text{mol}^{-1}$	0,25 pt	0,5 pt								
$E_{\text{s}_B} = (6 \times E_0 + P) - \left( 6 \times E_0 - \frac{2}{5} \times \Delta_o + P \right) = \frac{2}{5} \times \Delta_o$ <b>Application numérique:</b> $E_{\text{s}_B} = \frac{2}{5} \times 10400 = 4160 \text{ cm}^{-1} \cdot \text{mol}^{-1} = 11,898 \text{ kcal} \cdot \text{mol}^{-1} = 49,7 \text{ kJ} \cdot \text{mol}^{-1}$	0,25 pt									

**Problème II : (5,5 pts/20)**

	détails	total
II-1-a)	$\text{Ag} / \text{Ag}^+ (10^{-2} \text{ mol.L}^{-1}) // \text{Fe}^{3+} (10^{-2} \text{ mol.L}^{-1}) / \text{Fe}^{2+} (10^{-2} \text{ mol.L}^{-1}) / \text{Pt}$	0,5 pt 0,5 pt
II-1-b)	$E_G = E_G^0 + 0,06 \times \log_{10} [\text{Ag}^+] = 0,68 \text{ V}$	0,5 pt
	$E_D = E_D^0 + 0,06 \times \log_{10} \frac{[\text{Fe}^{3+}]}{[\text{Fe}^{2+}]} = 0,77 \text{ V}$	0,5 pt 1,25 pt
	$\epsilon = E_D - E_G = 0,09 \text{ V}$	0,25 pt
II-1-c)		Polarité, i et é 0,75 pt Schéma pile 0,25 pt 1,5 pt
	$\text{Ag} \rightarrow \text{Ag}^+ + 1\text{e}^-$	Equations 0,5 pt
	$\text{Fe}^{3+} + 1\text{e}^- \rightarrow \text{Fe}^{2+}$	
	$\text{Ag} + \text{Fe}^{3+} \rightarrow \text{Fe}^{2+} + \text{Ag}^+$	
II-2-a)	$\text{Fe}^{2+} + 6.\text{CN}^- \rightarrow [\text{Fe}(\text{CN})_6]^{4-}$	
	$\text{Fe}^{3+} + 6.\text{CN}^- \rightarrow [\text{Fe}(\text{CN})_6]^{3-}$	0,5 pt 0,75 pt
	$E'_D = E_D^0 + 0,06 \times \log_{10} \left( \frac{[\text{Fe}^{3+}]}{[\text{Fe}^{2+}]} \right) = E_D^0 + 0,06 \times \log_{10} \left( \frac{K_2}{K_1} \right) = 0,35 \text{ V}$	
	$\epsilon' = E'_D - E_G = -0,33 \text{ V}$	0,25 pt
II-2-b)	$\text{Ag}^+ + [\text{Fe}(\text{CN})_6]^{4-} \rightarrow \text{Ag} + [\text{Fe}(\text{CN})_6]^{3-}$	0,5 pt 0,5 pt
	Inversion de la polarité de la pile	
II-3)	$E'_G = E_G^0 + 0,06 \times \log_{10} ([\text{Ag}^+]) = E_G^0 + 0,06 \times \log_{10} \left( \frac{K_s}{[\text{Cl}^-]} \right) = 0,28 \text{ V}$	0,5 pt 1 pt
	$\epsilon'' = E'_D - E'_G = 0,35 - 0,28 = 0,07 \text{ V}$	0,25 pt
	Une nouvelle inversion de la polarité des électrodes.	0,25 pt

**Problème III : (7,0 pt/20)**

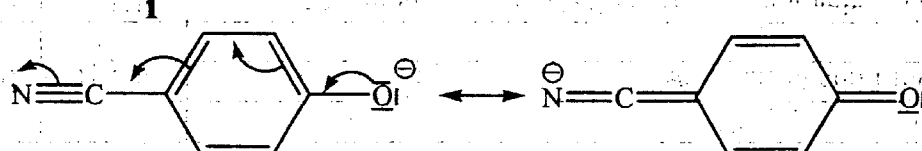
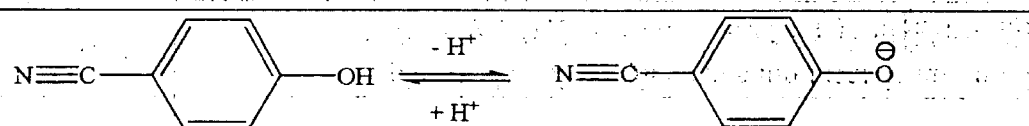
III-1)	détails	total
$\text{HX}_{(\text{g})} \rightleftharpoons \frac{1}{2}\text{H}_{2(\text{g})} + \frac{1}{2}\text{X}_{2(\text{g})}$ $\begin{array}{ccc} 1-\alpha & \frac{\alpha}{2} & \frac{\alpha}{2} \end{array}$	0,25 pt	
$K_p = \frac{\sqrt{P_{\text{H}_2}} \times \sqrt{P_{\text{X}_2}}}{P_{\text{HX}}} = \frac{\sqrt{\frac{\alpha}{2}} \times \sqrt{\frac{\alpha}{2}}}{(1-\alpha)} = \frac{\alpha}{2 \times (1-\alpha)}$	0,5 pt	1 pt
Pour X=Cl : $\alpha = 4,1 \times 10^{-3}$ T=2000K		
$(K_p)_{\text{HCl}} = \frac{\alpha}{2 \times (1-\alpha)}$	0,25 pt	
<b>Application numérique:</b>		
$(K_p)_{\text{HCl}} = \frac{4,1 \times 10^{-3}}{2 \times (1 - 4,1 \times 10^{-3})} = 2,058 \times 10^{-3}$		
III-2)		
$(K_p)_{\text{HI}} = 2 \times 10^4 \times 2,058 \times 10^{-3} = 41,16$	0,25 pt	
$(K_p)_{\text{HI}} = \frac{\alpha}{2 \times (1-\alpha)} = 41,16$	0,5 pt	1 pt
$\alpha = \frac{2 \times (K_p)_{\text{HI}}}{1 + 2 \times (K_p)_{\text{HI}}} = 0,988$	0,25 pt	
III-3)		
$\Delta_r G^0 = -R \times T \times \ln(K_p)$	0,25 pt	
Pour HCl :		
$\Delta_r G^0 = -8,314 \times 2000 \times \ln(2,058 \times 10^{-3}) = 102,86 \text{ kJ.mol}^{-1}$	0,25 pt	0,75 pt
Pour HI :		
$\Delta_r G^0 = -8,314 \times 2000 \times \ln(41,16) = -61,82 \text{ kJ.mol}^{-1}$	0,25 pt	
III-4)		
$p_{\text{H}_2} = \frac{10^{-2}}{1 + 2 \times 10^{-2}} = 9,8 \times 10^{-3}$		
$p_{\text{I}_2} = \frac{10^{-2}}{1 + 2 \times 10^{-2}} = 9,8 \times 10^{-3}$	0,5 pt	
$p_{\text{HI}} = \frac{1}{1 + 2 \times 10^{-2}} = 0,98$		
$Q_{S_1} = \frac{\sqrt{9,8 \times 10^{-3}} \times \sqrt{9,8 \times 10^{-3}}}{0,98} = 10^{-2} < (K_p)_{\text{HI}} = 41,16$	1,25 pt	
Le système évolue dans le sens direct.	0,25 pt	
$Q_{S_2} = \frac{\sqrt{9,8 \times 10^{-3}} \times \sqrt{9,8 \times 10^{-3}}}{0,98} = 10^{-2} > (K_p)_{\text{HCl}} = 2,058 \times 10^{-3}$	0,25 pt	
Le système évolue dans le sens inverse.	0,25 pt	

III-5)	détails	total
D'après la loi de Van't Hoff: $\frac{d(\ln(K_p))}{dT} = \frac{\Delta H}{R \times T^2}$ $\int_{1000}^{2000} d(\ln(K_p)) = \int_{1000}^{2000} \frac{\Delta H}{R} \times \frac{dT}{T^2}$ $\ln\left(\frac{K_p(2000)}{K_p(1000)}\right) = \frac{\Delta H}{R} \times \left[ \frac{1}{1000} - \frac{1}{2000} \right] = \frac{\Delta H}{2000 \times R}$ $\Delta H = 2000 \times R \times \ln\left(\frac{K_p(2000)}{K_p(1000)}\right)$	0,5 pt 1 pt	
Pour HCl:		
$\Delta H = 2000 \times 8,314 \times 10^{-3} \times \ln\left(\frac{2,058 \times 10^{-3}}{4,91 \times 10^{-11}}\right) = 291,84 \text{ kJ.mol}^{-1}$	0,25 pt	
Pour HI :		
$\Delta H = 2000 \times 8,314 \times 10^{-3} \times \ln\left(\frac{41,16}{3,8 \times 10^{-2}}\right) = 116,19 \text{ kJ.mol}^{-1}$	0,25 pt	
III-6-a) $\text{HCl}_{(g)} \rightleftharpoons \frac{1}{2}\text{H}_{2(g)} + \frac{1}{2}\text{Cl}_{2(g)}$		
V ↘ P ↗ $K_p$ est indépendante de P (pas d'effet).	0,5 pt	0,5 pt
III-6-b) $n_{\text{H}_2} \nearrow \Rightarrow$ déplacement de l'équilibre dans le sens inverse.	0,5 pt	0,5 pt
III-7)		
$\text{HI}_{(g)} \rightleftharpoons \frac{1}{2}\text{H}_{2(g)} + \frac{1}{2}\text{I}_{2(g)}$ (1)		
$\text{HCl}_{(g)} \rightleftharpoons \frac{1}{2}\text{H}_{2(g)} + \frac{1}{2}\text{Cl}_{2(g)}$ (2)	0,5 pt	
$2\text{HI}_{(g)} + \text{Cl}_{(g)} \rightleftharpoons 2\text{HCl}_{(g)} + \text{I}_{2(g)}$ (3)		
Nous remarquons que : (3)=2×((1)-(2))		1 pt
$(K_p)_{(3)} = \left( \frac{(K_p)_{(1)}}{(K_p)_{(2)}} \right)^2$	0,25 pt	
Application numérique :		
$(K_p)_{(3)} = \left( \frac{3,8 \times 10^{-2}}{4,9 \times 10^{-11}} \right)^2 = 0,6 \times 10^{18}$	0,25 pt	

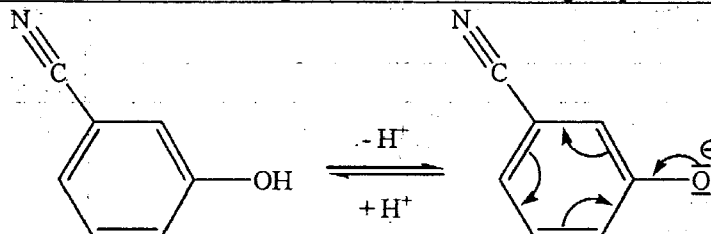
## Partie B : Chimie organique

### Problème I : (5,0 pts/20)

a)



Stabilisation de l'anion par effet  $-I$  et  $-M$  du groupement CN



II  
Stabilisation de l'anion par effet  $-I$  du substituant CN

Donc  $pK_a(I)=7,97$  et  $pK_a(II)=8,37$

I est plus acide que II

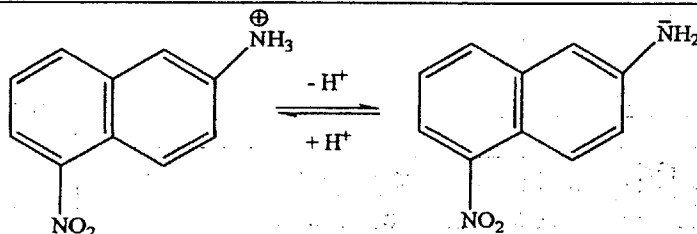
détails total

0,5 pt

1,5 pt

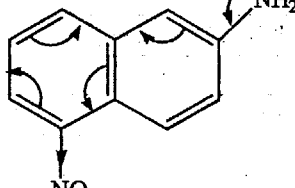
0,5 pt

b)



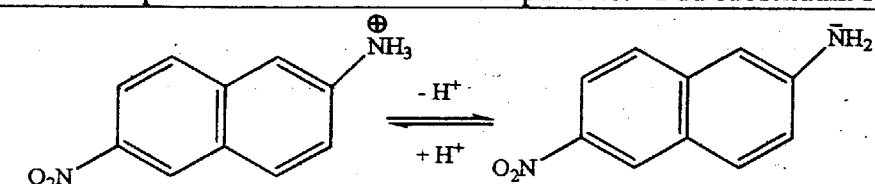
0,5 pt

1,5 pt

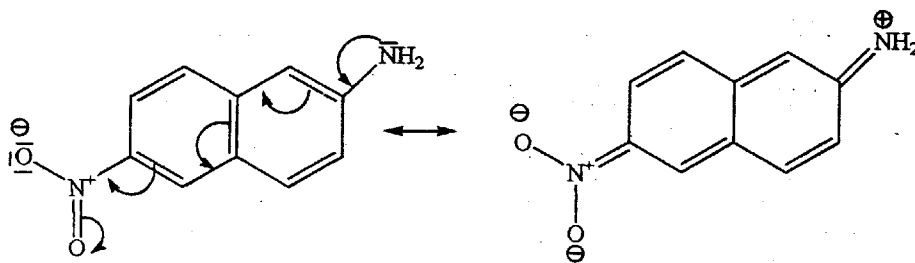


La base conjuguée de III

La densité électronique sur l'azote est diminuée par effet  $-I$  du substituant  $\text{NO}_2$



0,5 pt

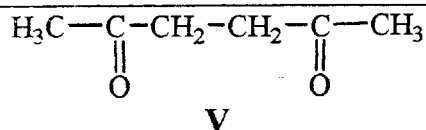


La densité électrique de l'azote est diminuée par effet -I et effet -M de NO<sub>2</sub>

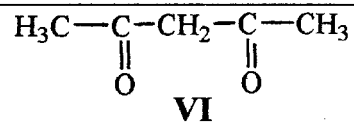
**IV** ( $pK_a=2,62$ ) est plus acide que **III** ( $pK_a=3,06$ )

0,5 pt

c)

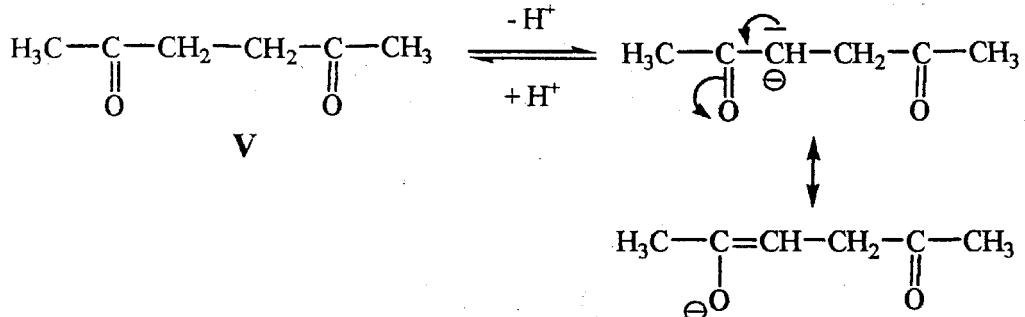


et



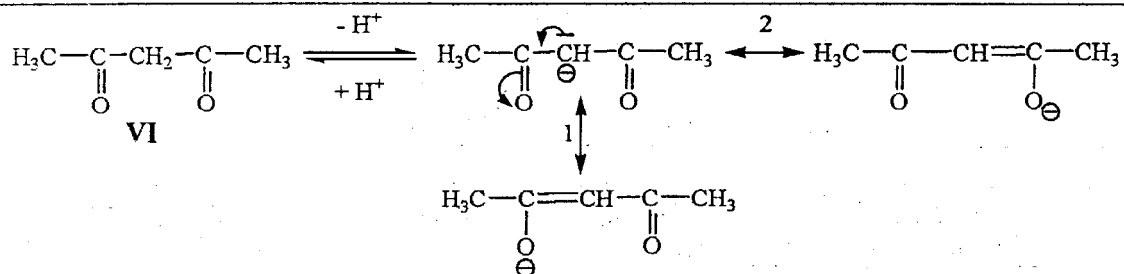
Les H(s) en  $\alpha$  de la fonction C=O sont mobiles d'où le couple acido-basique considéré

0,5 pt



0,5 pt

2 pts



0,5 pt

Donc la base conjuguée de VI est mieux stabilisée que la base conjuguée de V →

Acide VI est plus fort que l'acide V  $pK_a(\text{VI})=8,90$  et  $pK_a(\text{V})>15,75$

0,5 pt

### Problème II : (15,0 pts/20)

#### Partie I : (6,0 pts/20)

1)

A : Acide 2,6-diamino-3-hydroxyhexanoïque

1 pt

2 pts

B : 3,7-diméthyocta-2,6-dienol.

1 pt

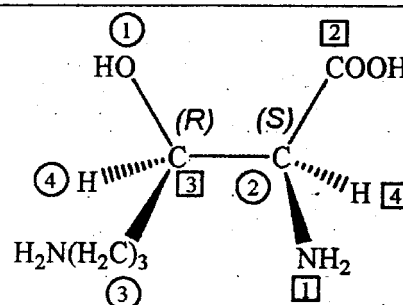
2)

Le composé A possède deux carbones asymétriques n'ayant pas les substituants identiques deux à deux donc  $2^2 = 4$  stéréoisomères (A<sub>1</sub>, A<sub>2</sub>, A<sub>3</sub>, A<sub>4</sub>).

1 pt

1 pt

3)



1 pt

1 pt

4)

Les molécules de configuration (2S, 3R) et (2R, 3R) de A sont des diastéréoisomères

0,5 pt

Un mélange équimolaire du mélange (2S, 3R) et (2R, 3R) est optiquement actif

0,5 pt

Activité optique de (2S, 3R) :  $\alpha$

0,5 pt

2 pts

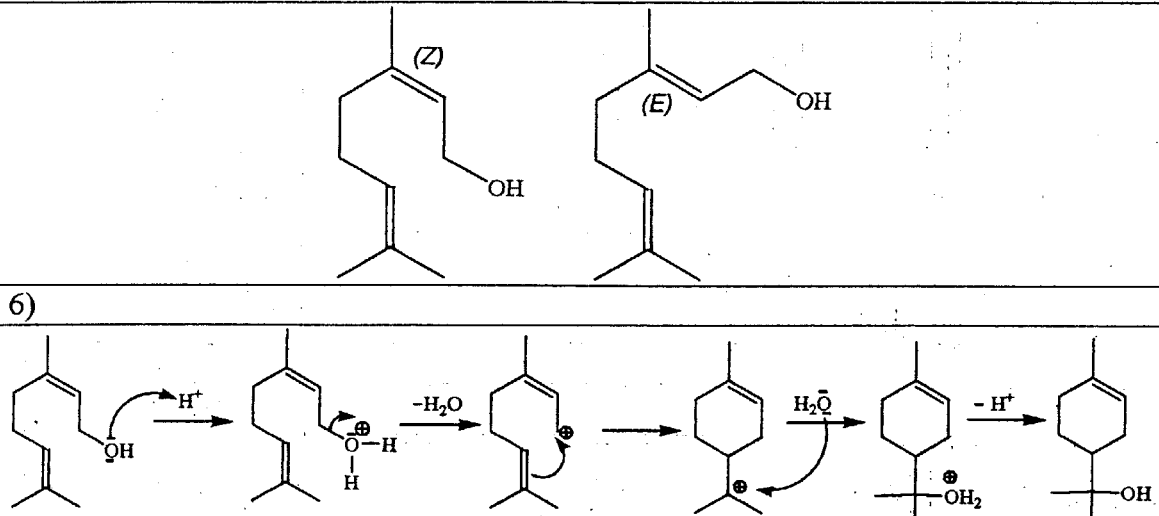
$$\left. \begin{array}{l} \alpha + \alpha' \neq 0 \\ \text{Activité optique de (2R, 3R) : } \alpha' \end{array} \right\}$$

0,5 pt

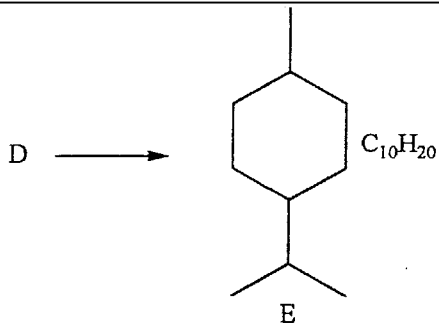
0,5 pt

Activité optique de (2R, 3R) :  $\alpha'$

**Partie II: (9,0 pts/20)**

	détails	total
5)	(Z) 0,5 pt (E)- 0,5 pt	
6)	 $\alpha\text{-terpinol}$ (C)	1,5 pt
7-a)	 (D)      (D')	(D) 0,5 pt (D') 0,5 pt 1 pt
7-b)	    (D')      (I')      (II')  (D)      (I)      (II)	(I') 0,5 pt (II') 0,5 pt  (I) 0,5 pt (II) 0,5 pt 2 pts

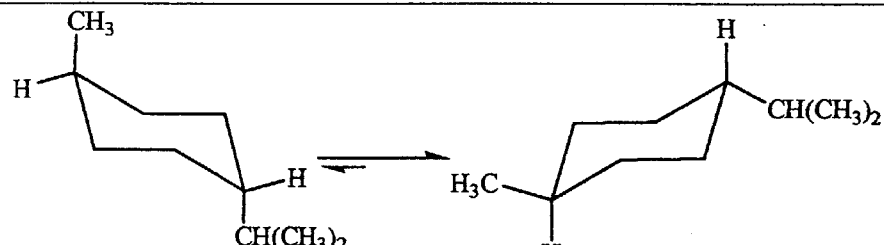
7-c)



0,5 pt

0,5 pt

7-d)

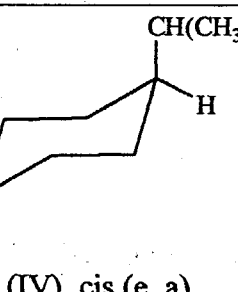
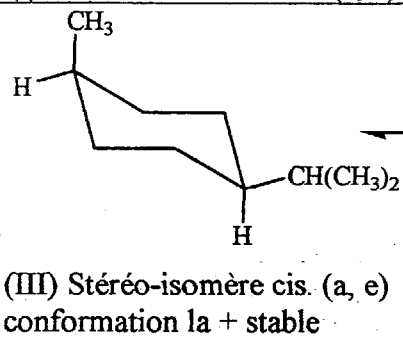


(I)  
0,5 pt

(II)  
0,5 pt

(I) Stéréo-isomère trans. (a, a)

(II) conformation la + stable trans. (e, e)



2 pts

(III) Stéréo-isomère cis. (a, e)  
conformation la + stable

(III)  
0,5 pt

(IV)  
0,5 pt

II plus stable que I → (position équatoriale)

III plus stable IV → (position équatoriale)